

# Badanie krzywych chronometrycznych w kontekście hipotezy zegara.

Paweł Rzońca

16 czerwca 2018

## Spis treści

<b>1</b>	<b>Konstrukcja zegara</b>	<b>2</b>
1.1	Transport Fermiego-Walkera . . . . .	2
1.2	Czwórka symetryczna kierunków zerowych . . . . .	4
1.3	Konstrukcja zegara . . . . .	7
<b>2</b>	<b>Aplikacje</b>	<b>9</b>
2.1	Ruch hiperboliczny . . . . .	9
2.2	Ruch po okręgu . . . . .	9
2.3	Ruch po okręgu względem galaktyk . . . . .	11
2.4	Ruch po okręgu wokół czarnej dziury . . . . .	12
<b>3</b>	<b>Analiza równania fazy zegara</b>	<b>13</b>
3.1	Zegar w przypadku stałego przyspieszenia . . . . .	13
3.1.1	Rozwiązanie przybliżone . . . . .	14
3.1.2	Ruch jednostajnie przyspieszony . . . . .	15
3.1.3	Ruch po okręgu . . . . .	15
3.2	Analiza modelu pod kątem pomiaru . . . . .	15
<b>A</b>	<b>Dodatek matematyczny</b>	<b>16</b>
A.1	Równoważność dwóch postaci warunków na transport Fermiego-Walkera . . . . .	16

$$\xi = -\ell^2 \frac{\dot{k} \cdot \dot{k}}{(k \cdot \dot{x})^2} \quad (1)$$

Więć  $k \cdot k = 0$  uwzględniamy w Lagragianie metodą mnożników Lagrange'a

$$L = m\sqrt{\dot{x} \cdot \dot{x}} f(\xi) + \lambda(k \cdot k) \quad (2)$$

Rozważymy ogólniejszy Lagrangian postaci

$$L = \frac{1}{2} (\eta \dot{x} \cdot \dot{x} + \eta^{-1} f(\xi)) + \lambda(k \cdot k) \quad (3)$$

Równanie Eulera-Lagrange'a dla  $\eta$  daje dwie możliwości

$$0 = \frac{\partial L}{\partial \eta} = \frac{1}{2} (\dot{x} \cdot \dot{x} - \eta^{-2} f(\xi)). \quad (4)$$

Zakładając, że  $\eta$  jest zależna od prędkości dostajemy więc

$$\eta = \frac{f(\xi)}{\sqrt{\dot{x} \cdot \dot{x}}}.$$

Wtedy lagrangian sprowadza się do postaci ... (z dokładnością do stałej). Gdy założymy, że  $\eta$  jest niezależne otrzymujemy więzy

$$\dot{x} \cdot \dot{x} = 0, \quad f(\xi) = 0 \quad (5)$$

## 1 Konstrukcja zegara

### 1.1 Transport Fermiego-Walkera

Konstrukcję zegara przeprowadzimy w lokalnie nierotującej bazie. W tej części pracy przedstawimy koncepcje potrzebne do konstrukcji takiej bazy. Dokładne omówienie prezentowanych zagadnień można znaleźć np. tu [1, 2]. Zauważmy, że dla transportu równoległy wzdłuż linii geodezyjnej przekształca wektory styczne w wektory styczne. Własność tę tracimy, gdy linia świata nie jest linią geodezyjną, czyli gdy  $A = \frac{Du}{ds} = 0$ . Transportem, który zachowuje styczność wektorów do linii świata jest transport Fermiego-Walkera (FW). Doświadczenie wskazuje, że taki transport odpowiada fizycznemu transportowi wektorów [3, 4]. Do jego zdefiniowania posłużą nam odwzorowania  $P$  i  $R$ . Niech  $u$  będzie jednostkowym wektorem stycznym do linii świata  $y$ . Dowolny wektor  $v$  możemy w punkcie  $p \in y$  rozłożyć na składowe styczną  $R(v)$  i prostopadłą  $P(v)$  do  $y$  (6). Przestrzeń wektorów  $p$  rozpada się w ten sposób na sumę prostą przestrzeni  $\{P(v)\}$  i  $\{R(v)\}$ .

$$v = \underbrace{v - (v \cdot u)u}_{P(v)} + \underbrace{(v \cdot u)u}_{R(v)} = P(v) + R(v). \quad (6)$$

**Definicja 1.** Mówimy, że wektor  $v$  spełnia prawo **transportu Fermiego-Walkera** (FW) wzdłuż linii świata  $y$  jeżeli

$$\frac{D_{FW}(v)}{ds} := P \left( \frac{DP(v)}{ds} \right) + R \left( \frac{DR(v)}{ds} \right) = 0 \quad (FW)$$

Wyrażenie  $\frac{D_{FW}}{ds}$  nazywamy **pochodną Fermiego-Walkera**.

**Twierdzenie 1.** Załóżmy, że  $u = \dot{y}$  oraz  $A = \frac{Du}{ds}$  to odpowiednio czterowektory prędkości i przyspieszenia stoważyszone z linią świata  $y$ . Wtedy pochodną Fermiego-Walkera możemy zapisać w postaci

$$\frac{D_{FW}v}{ds} = \frac{Dv}{ds} + (A \cdot v)u - (u \cdot v)A. \quad (7)$$

Powyższa równość może służyć za definicję pochodnej Fermiego-Walkera [1] równoważną do tutaj przyjętej.

*Dowód.* Obliczmy pochodne absolutne rzutów  $P(v)$  oraz  $R(v)$

$$\frac{DP(v)}{ds} = \frac{Dv}{ds} - (u \cdot v)A - \frac{d(u \cdot v)}{ds}u, \quad \frac{DR(v)}{ds} = \frac{d(u \cdot v)}{ds}u + (u \cdot v)A.$$

Pamiętając, że  $u \perp A$  mamy

$$\begin{aligned} P\left(\frac{DP(v)}{ds}\right) &= \frac{Dv}{ds} - (u \cdot v)A - \frac{d(u \cdot v)}{ds}u - \left(\frac{Dv}{ds} \cdot u\right)u + \frac{d(u \cdot v)}{ds}u = \\ &= \frac{Dv}{ds} - (u \cdot v)A - \left(\frac{Dv}{ds} \cdot u\right)u, \\ R\left(\frac{DR(v)}{ds}\right) &= \frac{d(u \cdot v)}{ds}u = \left(\frac{Dv}{ds} \cdot u\right)u + (A \cdot v)u. \end{aligned}$$

Zatem pochodna FW jest równa

$$\frac{D_{FW}(v)}{ds} = P\left(\frac{DP(v)}{ds}\right) + R\left(\frac{DR(v)}{ds}\right) = \frac{Dv}{ds} + (A \cdot v)u - (u \cdot v)A. \quad (8)$$

□

W przypadku zerowego przyspieszenia ( $A \equiv 0$ ) linia świata jest linią geodezyjną, pochodna (FW) sprowadza się do pochodnej absolutnej, a transport (FW) sprowadza się do transportu równoległego.

Dla dowolnych wektorów  $v_1$  i  $v_2$  mamy  $P(v_1) \perp R(v_2)$ , a więc warunek transportu (FW) sprowadza się zerowania się każdego ze składników

$$\begin{aligned} P\left(\frac{DP(v)}{ds}\right) &= 0, \\ R\left(\frac{DR(v)}{ds}\right) &= 0. \end{aligned}$$

**Definicja 2. Reperem lokalnie nierotującym** nazywamy reper ruchomy poruszający się wraz z ciałem wzdłuż jego linii świata, którego wersor czasowy jest styczny do linii świata (co odpowiada czteroprędkości) i którego wersory spełniają prawo transportu (FW).

Reper lokalnie nierotujący jest szczególnie dogodny do opisu zjawisk fizycznych. W granicy nierelatywistycznej odpowiada on Newtonowskiej koncepcji nierotującego reperu [1]. Przeprowadzimy teraz konstrukcję takiego reperu, co sprowadza się do konstrukcji odpowiedniej bazy  $E$ .

Za wersor czasowy takiej bazy możemy zawsze obrać prędkość  $u$ , gdyż jest ona unormowanym wektorem czasowym spełniającym prawo transportu (FW)

$$e := u = \frac{dy}{ds}.$$

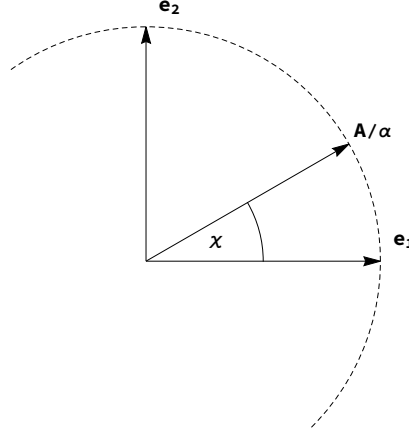
Dobieramy do niego wersory przestrzenne  $e_i$ ,  $i = 1, 2, 3$  tak, aby otrzymana baza  $E = \{e_\mu\}$  była ortogonalna. Warunek  $e_i \perp e$  zapewnia, że  $R(e_i) = 0$ . Zatem dodatkowym warunkiem jaki trzeba nałożyć na wersory przestrzenne  $e_i$  jest

$$P\left(\frac{DP(v)}{ds}\right) = 0.$$

Uwzględniając, że  $e = u$  oraz  $P(e_i) = e_i$  możemy powyższy warunek zapisać w postaci

$$\frac{De_i}{ds} = \left(\left(\frac{De_i}{ds}\right) \cdot e\right)e, \quad (9)$$

Przydatną własnością bazy  $E$  jest, że dany wektor ma w tej bazie stałe współrzędne wtedy i tylko wtedy, gdy spełnia prawo transportu (FW). Aby to pokazać wystarczy rozłożyć dany wektor w bazie  $E$  i skorzystać z definicji transportu (FW).



Rys. 1: Schemat obrazujący obrót  $\mathcal{O}$  wykonany na wersorze czteroprzyspieszenia  $A/\alpha$  w bazie  $E$ .

## 1.2 Czwórka symetryczna kierunków zerowych

Będziemy od teraz zakładać, że jeden z wersorów bazy  $E$  ( $e_3$ ) jest prostopadły do hiperpłaszczyzny ruchu, tak, że

$$A \cdot e_3 = 0.$$

Nie jest to duże ograniczenie i, jak się później przekonamy, pozwala na zastosowanie modelu w wielu przypadkach. Zauważmy, że wektor  $A$  leży wtedy w płaszczyźnie rozpinanej przez wektory  $e_1$  i  $e_2$ . Licząc przyspieszenie właściwe dostajemy

$$\alpha^2 = (A \cdot e_1)^2 + (A \cdot e_2)^2$$

Interpretując powyższą równość jako trójkę pitagorską możemy wprowadzić następujące oznaczenia

$$\cos \chi = \frac{A \cdot e_1}{\alpha},$$

$$\sin \chi = \frac{A \cdot e_2}{\alpha}.$$

Z wersorów  $e$  i  $e_3$  tworzymy dwa zerowe wektory skierowane w przyszłość  $k_+$  i  $k_-$ , które uważamy za wektory własne pewnej transformacji Lorentza.

$$k_+ = \frac{e + e_3}{\sqrt{2}} \quad (10)$$

$$k_- = \frac{e - e_3}{\sqrt{2}} \quad (11)$$

$$k_+ \cdot k_- = 1 \quad k_{\pm} \cdot k_{\pm} = 0.$$

$$\mathcal{O}(k_{\pm}) = \frac{1}{\sqrt{2}} \mathcal{O}(e \pm e_3) = \frac{1}{\sqrt{2}} (\mathcal{O}e \pm \mathcal{O}e_3) = \frac{1}{\sqrt{2}} (e \pm e_3) = k_{\pm}.$$

Wektory te są wektorami własnymi pewnego obrotu  $\mathcal{O}$ . Łatwo sprawdzić, że jest to obrót w płaszczyźnie wyznaczonej przez wersory  $e_1$  i  $e_2$ , czyli eliptyczne przekształcenie Lorentza. Obrót ten pozwala nam zinterpretować kąt  $\chi$ . Zauważmy, że możemy za pomocą obrotu  $\mathcal{O}$  obrócić, wersor czterowektora przyspieszenia o kąt  $-\chi$ , tak aby spełniał prawo transportu (FW). Schematycznie przedstawiono to na rysunku 1.

Rozważamy trzeci wektor zerowy skierowany w przyszłość  $k$  taki, że  $k \cdot e_3 \equiv 0$  oraz  $k(0) \cdot e_1(0) = 0$ . Wektor ten rozkładamy w bazie  $E$

$$k = k^0 e + k^i e_i, \quad k^1(0) = 0, k^3 = 0$$

$$k(0) = k^0(0)e(0) + k^2(0)e_2(0)$$

Rozkładając  $k$  w bazie  $E$  stwierdzamy, że jego współrzędne formują trójkę pitagorejską

$$(k \cdot e)^2 = (k \cdot e_1)^2 + (k \cdot e_2)^2 \quad (12)$$

Wprowadzamy **fazę zegara**  $\varphi$  równością (13)

$$\cos \varphi = \frac{k \cdot e_1}{k \cdot e} \quad (13)$$

$$k = (k \cdot e)(e - \cos \varphi e_1 - \sin \varphi e_2)$$

Z wektora  $k(0)$  tworzymy wektor zerowy  $k_0(s)$  tak aby spełniał prawo transportu (FW). Wiemy, że wtedy jego współrzędne w bazie  $E$  są stałe. Wektor  $k_0$  ustalamy więc jako (15). Warunek początkowy na fazę  $\varphi$  ustalamy na (14), aby dla  $s = 0$  wektory  $k$  i  $k_0$  reprezentowały ten sam kierunek zerowy.

$$\varphi(0) = -\frac{\pi}{2} \quad (14)$$

$$k_0(s) = \sqrt{2}(e + e_2). \quad (15)$$

Każdemu kierunkowi zerowemu możemy przyporządkować punkt na sferze, a następnie każdemu punktowi sfery możemy przyporządkować, przez rzut stereograficzny, punkt z płaszczyzny zespolonej (odpowiednio uzwarconej) [?]. Skonstruujemy teraz czwarty wektor zerowy  $k_3$ , który razem z wektorami  $k_+$ ,  $k_0$ ,  $k_-$  utworzy czwórkę symetryczną. Mówimy, że wektory zerowe tworzą czwórkę symetryczną, kiedy dwustosunek odpowiadających im liczb zespolonych wynosi  $e^{\pm i\pi/3}$ . Dwustosunek liczb zespolonych  $z_0, z_1, z_2, z_3$  przyjmujemy w postaci (17) [5]. Liczby zespolone odpowiadające wektorom własnym  $k_\nu$  oznaczamy przez  $\kappa_\nu$  gdzie  $\nu \in \{+, 0, -, 3\}$ . W zależności od kolejności wektorów i przyjętego znaku w (18) otrzymujemy dwie liczby  $\kappa_3$  różniące się znakiem części rzeczywistej (19). Wektorowi zerowemu  $k$  odpowiada liczba  $\kappa_\varphi$  (16).

$$\kappa = -\cos \varphi - i \sin \varphi \quad (16)$$

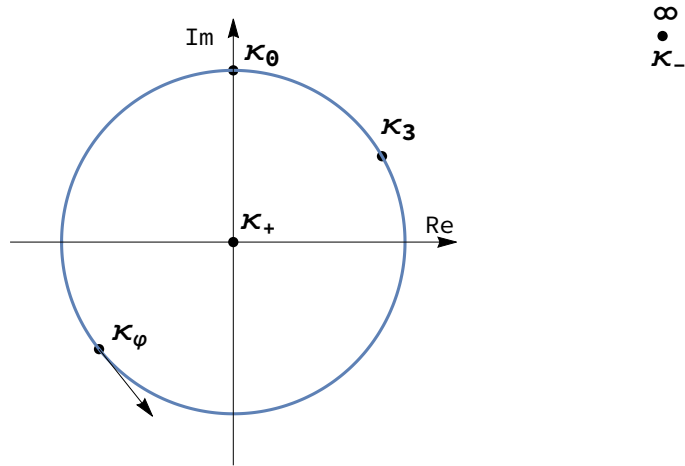
Na rysunkach 2 oraz 3 prezentujemy wzajemne położenie uzyskanej czwórki symetrycznej (dla  $\text{Re}(\kappa_3) > 0$ ) oraz obrazu wektora  $k$ . Uzyskane wektory są liniowo niezależne i tworzą bazę kierunków zerowych, która dodatkowo spełnia prawa transportu (FW).

$$(z_0 z_1 z_2 z_3) = \frac{(z_0 - z_1)(z_2 - z_3)}{(z_0 - z_3)(z_2 - z_1)}. \quad (17)$$

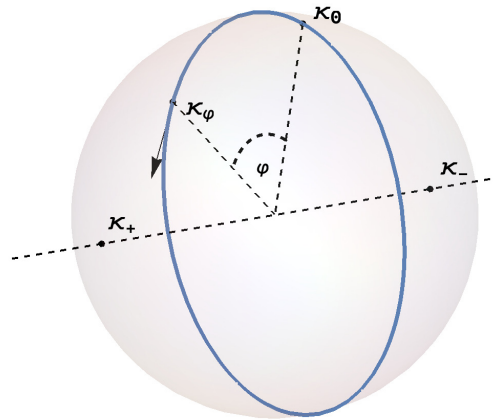
$$\kappa_0 = i, \kappa_+ = 0, \kappa_- = \infty, \quad (\kappa_0 \kappa_+ \kappa_- \kappa_3) = e^{\pm i\pi/3} \quad (18)$$

$$\kappa_3 = \pm \frac{\sqrt{3}}{2} + \frac{i}{2}, \quad k_3 = \sqrt{2}e \pm \frac{\sqrt{3}}{\sqrt{2}}e_1 + \frac{1}{\sqrt{2}}e_2 \quad (19)$$

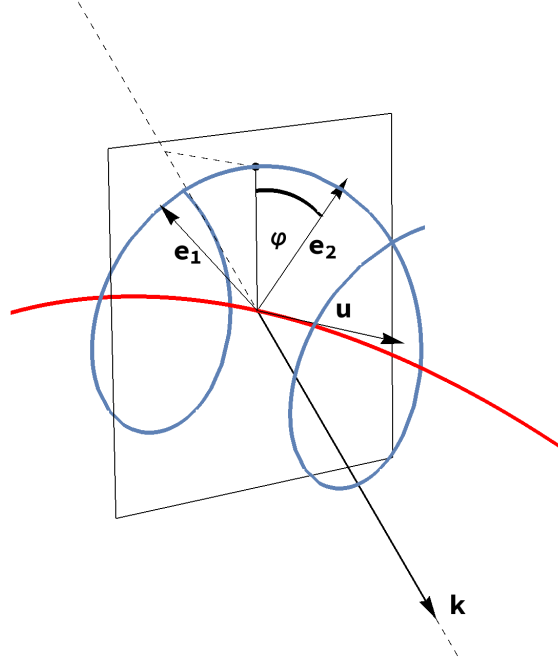
$$k_\mu \cdot k_\nu = 1, \quad k_\nu \cdot k_\nu = 0, \quad \mu \neq \nu, \mu, \nu \in \{0, +, -, 3\}$$



Rys. 2: Obraz czwórki symetrycznej oraz kierunku  $k$  na płaszczyźnie zespolonej. Punkt  $\kappa_-$  utożsamiamy z punktem  $\infty$ . Punkt  $\kappa_\phi$  porusza się po zaznaczonym okręgu jednostkowym wraz ze wzrostem  $\phi$ . Wektorem stycznym do okręgu zaznaczono kierunek ruchu.



Rys. 3: Obraz kierunków zerowych  $k_0, k_+, k_-$  wraz z kierunkiem  $k$  na sferze jednostkowej. Punkt  $\kappa_\phi$  porusza się po zaznaczonym okręgu jednostkowym wraz ze wzrostem  $\phi$ . Wektorem stycznym do okręgu zaznaczono kierunek ruchu. Płaszczyzna zawierająca okrąg jest prostopadła do prostej zawierającej  $\kappa_+$  i  $\kappa_-$



Rys. 4: Schemat działania zegara (kolor niebieski) wzdłuż linii światła (kolor czerwony).

### 1.3 Konstrukcja zegara

Zakładamy, że podczas ruchu mamy spełniony więz (??). Założymy dodatkowo, że wektor zerowy  $\dot{x}$  można przedstawić jako kombinację liniową  $e$  oraz  $k$ , taką, że  $e \cdot \dot{x} = 1$ . Rozkładając  $\dot{x}$  w bazie  $E$  dostajemy

$$\dot{x} = e - C(k \cdot e_1)e_1 - C(k \cdot e_2)e_2,$$

Korzystając z faktu, że  $\dot{x}$  jest zerowy możemy wyznaczyć współczynniki kombinacji liniowej.

$$0 = \dot{x} \cdot \dot{x} = 1 - C^2(k \cdot e_1)^2 - C^2(k \cdot e_2)^2 = 1 - C^2(k \cdot e)^2$$

$$C = \pm 1/(k \cdot e).$$

Wybieramy znak minus, gdyż w przeciwnym przypadku  $\dot{x} = k/(k \cdot e)$  oraz  $\dot{x} \cdot k = 0$ . Zatem

$$\boxed{\dot{x} = 2e - k/(k \cdot e) = e + \cos \varphi e_1 + \sin \varphi e_2, \quad \dot{x} \cdot k = 2k \cdot e,} \quad (20)$$

Sytuację tę obrazujemy na schematycznym rysunku (4)

Następnie obliczamy pochodną absolutną wektora  $k$

$$\dot{k} = \underbrace{\frac{d(k \cdot e)}{ds}e - \frac{d(k \cdot e_1)}{ds}e_1 - \frac{d(k \cdot e_2)}{ds}e_2}_{K_p} + \underbrace{(k \cdot e)\dot{e} - (k \cdot e_1)\dot{e}_1 - (k \cdot e_2)\dot{e}_2}_K$$

$$\dot{k} \cdot \dot{k} = K_p \cdot K_p + K \cdot K + 2K_p \cdot K$$

Obliczymy oddzielnie każdy ze składników powyższej sumy. Zaczynamy od przedstawienia pochodnych wektorów bazy w bardziej użytecznej postaci

$$\dot{e}_0 = \frac{De}{ds} = A,$$

$$\dot{e}_1 = \frac{De_1}{ds} = \frac{D(e_1)_\perp}{ds} \stackrel{??}{=} \left( \frac{D(e_1)_\perp}{ds} \cdot e_0 \right) e = \left( \frac{De_1}{ds} \cdot e \right) e \stackrel{??}{=} - \left( \frac{De}{ds} \cdot e_1 \right) e = - (A \cdot e_1) e,$$

$$\dot{e}_2 = \frac{De_2}{ds} = \frac{D(e_2)_\perp}{ds} \stackrel{??}{=} \left( \frac{D(e_2)_\perp}{ds} \cdot e \right) e = \left( \frac{De_2}{ds} \cdot e \right) e \stackrel{??}{=} - \left( \frac{De}{ds} \cdot e_2 \right) e = - (A \cdot e_2) e.$$

Zgodnie z powyższym zachodzą równości

$$K = (k \cdot e)(A + (A \cdot e_1) \cos \varphi e + (A \cdot e_2) \sin \varphi e)$$

$$K_p = (k \cdot e) \dot{\varphi} (\sin \varphi e_1 - \cos \varphi e_2) + \frac{d(k \cdot e)}{ds} (e - \cos \varphi e_1 - \sin \varphi e_2).$$

$$\begin{aligned} K_p \cdot K_p &= \left( \frac{d(k \cdot e)}{ds} \right)^2 - \left( \frac{d(k \cdot e_1)}{ds} \right)^2 - \left( \frac{d(k \cdot e_2)}{ds} \right)^2 = \left( \frac{d(k \cdot e)}{ds} \right)^2 - \left( \frac{d(k \cdot e) \cos \varphi}{ds} \right)^2 - \left( \frac{d(k \cdot e) \sin \varphi}{ds} \right)^2 \\ &= \left( \frac{d(k \cdot e)}{ds} \right)^2 - \left( \frac{d(k \cdot e)}{ds} \right)^2 (\cos^2 \varphi + \sin^2 \varphi) - (k \cdot e)^2 (\dot{\varphi})^2 (\sin^2 \varphi + \cos^2 \varphi) \\ &= -(k \cdot e)^2 (\dot{\varphi})^2 \end{aligned}$$

$$\begin{aligned} 2K_p \cdot K &= 2(k \cdot e_0) \dot{\varphi} ((A \cdot e_1) \sin \varphi - (A \cdot e_2) \cos \varphi) - \frac{d(k \cdot e_0)}{ds} ((A \cdot e_1) \cos \varphi + (A \cdot e_2) \sin \varphi) + \\ &+ \frac{d(k \cdot e_0)}{ds} (A \cdot e_1) \cos \varphi + \frac{d(k \cdot e_0)}{ds} (A \cdot e_2) \sin \varphi \\ &= 2(k \cdot e_0) \dot{\varphi} ((A \cdot e_1) \sin \varphi - (A \cdot e_2) \cos \varphi) \end{aligned}$$

$$\begin{aligned} K \cdot K &= (k \cdot e)^2 ((A \cdot A) + ((A \cdot e_1) \cos \varphi + (A \cdot e_2) \sin \varphi)^2) = \\ &= -(k \cdot e)^2 ((A \cdot e_1)^2 + (A \cdot e_2)^2 - (A \cdot e_1)^2 \cos^2 \varphi - (A \cdot e_2)^2 \sin^2 \varphi - 2(A \cdot e_1)(A \cdot e_2) \sin \varphi \cos \varphi) \\ &= -(k \cdot e)^2 ((A \cdot e_1) \sin \varphi - (A \cdot e_2) \cos \varphi)^2 \end{aligned}$$

Sumę powyższych składników możemy zwinąć do kwadratu i ostatecznie

$$1 = - \frac{\ell^2 \dot{k} \cdot \dot{k}}{(k \cdot \dot{x})^2} = \frac{\ell^2}{4} (\dot{\varphi} - (A \cdot e_1) \sin \varphi + (A \cdot e_2) \cos \varphi)^2$$

$$\dot{\varphi} = \pm \frac{2}{\ell} + (A \cdot e_1) \sin \varphi - (A \cdot e_2) \cos \varphi$$

Stosując oznaczenie ?? możemy zapisać owo równanie w zgrabnej postaci

$$\dot{\varphi} = \pm \frac{2}{\ell} + \alpha \cos \chi \sin \varphi - \alpha \sin \chi \cos \varphi$$

$$\boxed{\dot{\varphi} = \pm \frac{2}{\ell} + \alpha \sin(\varphi - \chi)} \quad (21)$$

W przypadku braku przyspieszenia  $\alpha = 0$ , wprowadzony model zegara mierzy czas własny.

$$\dot{\varphi} = \frac{2}{\ell}, \quad \varphi = \pm \frac{2}{\ell} s + \varphi_0. \quad (22)$$



## 2 Aplikacje

### 2.1 Ruch hiperboliczny

Jako pierwszy chcemy zbadać relatywistyczny odpowiednik ruchu jednostajnie przyspieszonego. W układzie obserwatora inercyjnego  $\mathcal{I}$  posługującego się kartezjańskim układem współrzędnych rozważamy linię świata  $y = y(s)$  obserwatora  $\mathcal{Z}$  parametryzowaną czasem własnym  $s$ . Poniższe wyprowadzenie postaci  $y$  można znaleźć w [6, 4] Ruch ten będzie odbywał się w jednym wymiarze przestrzennym. W takim przypadku ogólna postać czteroprędkości, po uwzględnieniu warunku unormowania, ma postać (23).

$$(u^\mu) = (\cosh \beta(s), \sinh \beta(s), 0, 0), \quad (23)$$

gdzie  $\beta(s)$  jest pewną funkcją parametryzowaną czasem własnym  $s$ . Rządamy, aby przyspieszenie właściwe było stałe.

$$(A^\mu) = (\dot{\beta}(s) \sinh \beta(s), \dot{\beta}(s) \cosh \beta(s), 0, 0).$$

$$\alpha = \sqrt{-A^\mu A_\mu} = \dot{\beta}(s)$$

Otrzymaliśmy równanie różniczkowe na funkcję  $\beta(s)$ . Możemy bez straty ogólności przyjąć, że  $\beta(0) = 0$ . Wtedy

$$\beta(s) = \alpha s,$$

$$(u^\mu) = (\cosh \alpha s, \sinh \alpha s, 0, 0),$$

$$(A^\mu) = (\alpha \sinh \alpha s, \alpha \cosh \alpha s, 0, 0).$$

A zatem odpowiednik ruchu jednostajnie przyspieszonego w czasoprzestrzeni Minkowskiego to ruch opisany przez hiperbolę. Łatwo sprawdzić, że dla małych prędkości ruch ten przechodzi w ruch jednostajnie przyspieszony. Ciało w takim ruchu porusza się po linii świata (24).

$$(y^\mu) = \left( \frac{1}{\alpha} \sinh \alpha s, \frac{1}{\alpha} \cosh \alpha s, 0, 0 \right). \quad (24)$$

Chcemy skonstruować reper współporuszający się z  $\mathcal{Z}$ . W tym celu wersor czasowy obieramy prędkość  $e_0 = u$ , a za pierwszy z wersorów przestrzennych unormowane przyspieszenie  $e_1 = A/\alpha$ . Wersory te uzupełniamy do bazy za pomocą wersorów kanonicznych. Otrzymaoną bazę możemy zapisać zgrabnie w postaci macierzy (25). Łatwo sprawdzić, że tak skonstruowany reper spełnia prawo transportu Fermiego-Walkera.

$$\begin{pmatrix} e_0 \\ e_1 \\ e_2 \\ e_3 \end{pmatrix} = \begin{pmatrix} \cosh \alpha s & \sinh \alpha s & 0 & 0 \\ \sinh \alpha s & \cosh \alpha s & 0 & 0 \\ 0 & 0 & 1 & 0 \\ 0 & 0 & 0 & 1 \end{pmatrix}. \quad (25)$$

Możemy teraz podać równanie na kąt  $\phi$  zegara

$$\chi = \pi, \quad \alpha = \text{const} \quad (26)$$

$$\dot{\varphi} = \pm \frac{2}{\ell} + \alpha \sin(\varphi - \pi) = \pm \frac{2}{\ell} - \alpha \sin(\varphi) \quad (27)$$

### 2.2 Ruch po okręgu

W układzie obserwatora inercyjnego  $\mathcal{I}$  z kartezjańskim układem współrzędnych rozważamy linię świata obserwatora  $\mathcal{Z}$  w ruchu jednostajnym po okręgu. Zagadnienie rozpatrujemy w czasoprzestrzeni Minkowskiego. Rozpatrzmy punkt poruszający się po okręgu o promieniu  $R$  i częstości  $\omega$ . W układzie obserwatora inercyjnego  $\mathcal{I}$  porusza się on po trajektorii  $y = y(s)$ . Współrzędne tej trajektorii mają, w kartezjańskim układzie współrzędnych, postać

$$(y^\mu) = (\gamma s, R \cos \omega \gamma s, R \sin \omega \gamma s, 0). \quad (28)$$

Wtedy czterowektory prędkości i przyspieszenia mają postać

$$(u^\mu) = \left( \frac{dy^\mu}{ds} \right) = (\gamma, -R\omega\gamma \sin \omega\gamma s, R\omega\gamma \cos \omega\gamma s, 0), \quad (29)$$

$$(A^\mu) = \left( \frac{Du^\mu}{ds} \right) = (0, -R\omega^2\gamma^2 \cos \omega s, -R\omega^2\gamma^2 \sin \omega\gamma s, 0). \quad (30)$$

Właściwe przyspieszenie jest wtedy zachowane podczas ruchu

$$\alpha = \sqrt{-A \cdot A} = R\omega^2\gamma^2. \quad (31)$$

Teraz zajmijmy się znalezieniem reperu lokalnie nierotującego poruszającego się po rozpatrywanej linii świata. Jako wersor czasowy  $e$  wybieramy prędkość  $u$ . Pierwszy z wersorów przestrzennych  $e'_1$  wybieramy wersor przeciwny do przyspieszenia. Jako wersor  $e_3$  wybieramy unormowany wektor prostopadły do płaszczyzny ruchu. Wersor  $e'_2$  wybieramy tak, aby był ortogonalny do pozostałych. Uzyskaną bazę zapisujemy w postaci macierzowej (??).

$$E' = \begin{pmatrix} e \\ e'_1 \\ e'_2 \\ e_3 \end{pmatrix} = \begin{pmatrix} \gamma & -R\omega\gamma \sin \omega\gamma s & R\omega\gamma \cos \omega\gamma s & 0 \\ 0 & \cos \omega\gamma s & \sin \omega\gamma s & 0 \\ R\omega\gamma & -\gamma \sin \omega\gamma s & \gamma \cos \omega\gamma s & 0 \\ 0 & 0 & 0 & 1 \end{pmatrix}. \quad (32)$$

Chcemy, aby obrona baza spełniała prawo transportu (FW). Z racji ortonormalności wersory tej bazy spełniają warunek (??). Łatwo sprawdzić, że wersory  $e$  i  $e_3$  spełniają również warunek (??), w przeciwieństwie do wersorów  $e'_1$  oraz  $e'_2$ . Aby tę drobną usterkę naprawić dokonamy obrotu bazy o kąt  $\psi = \psi(s)$  w płaszczyźnie wyznaczonej przez wersory  $e'_1$  i  $e'_2$ . Odpowiedni obrót w bazie kanonicznej jest dany przez (33) [5]. Właściwie obrócone wersory obliczamy za pomocą (34).

$$(\mathcal{O}^\mu_\nu) = \begin{pmatrix} 1 & 0 & 0 & 0 \\ 0 & \cos \psi & \sin \psi & 0 \\ 0 & -\sin \psi & \cos \psi & 0 \\ 0 & 0 & 0 & 1 \end{pmatrix}. \quad (33)$$

$$\begin{aligned} e_1 &= \mathcal{O}^\mu_1 E'_\mu, \\ e_2 &= \mathcal{O}^\mu_2 E'_\mu. \end{aligned} \quad (34)$$

Wstawiając obrócone wersory to warunku (??) otrzymujemy sześć równań różniczkowych na kąt  $\psi$ , które (przyjmując bez straty ogólności  $\psi(0) = 0$ ) mają wspólne rozwiązanie postaci (35). Otrzymana ortonormalna baza (36) spełnia prawo transportu (FW).

$$\psi(s) = -\omega\gamma^2 s \quad (35)$$

$$\begin{aligned} E &= \begin{pmatrix} e \\ e_1 \\ e_2 \\ e_3 \end{pmatrix} = \begin{pmatrix} \gamma & -R\omega\gamma \sin \omega\gamma s & R\omega\gamma \cos \omega\gamma s & 0 \\ R\omega\gamma \sin \psi & \cos \omega\gamma s \cos \psi - \gamma \sin \omega\gamma s \sin \psi & \sin \omega\gamma s \cos \psi + \gamma \cos \omega\gamma s \sin \psi & 0 \\ R\omega\gamma \cos \psi & -\cos \omega\gamma s \sin \psi - \gamma \sin \omega\gamma s \cos \psi & -\sin \omega\gamma s \sin \psi + \gamma \cos \omega\gamma s \cos \psi & 0 \\ 0 & 0 & 0 & 1 \end{pmatrix} = \\ &= \begin{pmatrix} \gamma & -R\omega\gamma \sin \omega\gamma s & R\omega\gamma \cos \omega\gamma s & 0 \\ -R\omega\gamma \sin \omega\gamma^2 s & \cos \omega\gamma^2 s \cos \omega\gamma s + \gamma \sin \omega\gamma s \sin \omega\gamma^2 s & \sin \omega\gamma s \cos \omega\gamma^2 s - \gamma \cos \omega\gamma s \sin \omega\gamma^2 s & 0 \\ R\omega\gamma \cos \omega\gamma^2 s & \cos \omega\gamma s \sin \omega\gamma^2 s - \gamma \sin \omega\gamma s \cos \omega\gamma^2 s & \sin \omega\gamma s \sin \omega\gamma^2 s + \gamma \cos \omega\gamma s \cos \omega\gamma^2 s & 0 \\ 0 & 0 & 0 & 1 \end{pmatrix}. \end{aligned} \quad (36)$$

Mając odpowiedni reper możemy podać równanie na kąt  $\varphi$

$$\begin{aligned} \chi &= \omega\gamma^2 s = -\psi, \quad \alpha = R\omega\gamma^2 \\ \dot{\varphi} &= \pm \frac{2}{\ell} + R\omega^2\gamma^2 \sin(\varphi - \omega\gamma^2 s) = \pm \frac{2}{\ell} + \alpha \sin(\varphi - \alpha s/R\omega) \end{aligned} \quad (37)$$

### 2.3 Ruch po okręgu względem galaktyk

Rozważmy teraz ponownie ruch po okręgu z tą różnicą, że wiążemy obserwatora  $\mathcal{I}$  z pyłem (galaktykami) w ekspandującym wszechświecie. Sytuacji tej odpowiada metryka Friedmana-Lemaître'a-Robertsona-Walkera (FLRW). Dla uproszczenia zakładamy zerową krzywizną przestrzenną. Tensor metryczny dany jest przez (38)

$$(g_{\mu\nu}) = \text{diag}(1, -a(t)^2, -a(t)^2, -a(t)^2). \quad (38)$$

Warto zauważyć, że dla  $a(t) \equiv 1$  metryka ta przechodzi w zwykłą metrykę czasoprzestrzeni Minkowskiego, a zatem można łatwo weryfikować poprawność wyników sprawdzając, czy dla przy przejściu  $a(t) \rightarrow 1$  pokrywają się one z otrzymanymi w poprzednim podrozdziale. W dalszej części przyjmujemy następujące oznaczenia

$$a := a(t), \quad a' := \frac{da(t)}{dt}.$$

Dla tej metryki symbole Chrostofella  $\Gamma_{ij}^k$  przedstawiam poniżej w tablicach odpowiednio dla  $k = 0, 1, 2, 3$

$$\begin{pmatrix} 0 & 0 & 0 & 0 \\ 0 & aa' & 0 & 0 \\ 0 & 0 & aa' & 0 \\ 0 & 0 & 0 & aa' \end{pmatrix}, \quad \begin{pmatrix} 0 & \frac{a'}{a} & 0 & 0 \\ \frac{a'}{a} & 0 & 0 & 0 \\ 0 & 0 & 0 & 0 \\ 0 & 0 & 0 & 0 \end{pmatrix}, \quad \begin{pmatrix} 0 & 0 & \frac{a'}{a} & 0 \\ 0 & 0 & 0 & 0 \\ \frac{a'}{a} & 0 & 0 & 0 \\ 0 & 0 & 0 & 0 \end{pmatrix}, \quad \begin{pmatrix} 0 & 0 & 0 & \frac{a'}{a} \\ 0 & 0 & 0 & 0 \\ 0 & 0 & 0 & 0 \\ \frac{a'}{a} & 0 & 0 & 0 \end{pmatrix}.$$

Rozważamy więc linie świata cząstki w ruchu po okręgu

$$y^\mu(s) = (t, x, y, z) = (t(s), R \cos \omega t(s), R \sin \omega t(s), 0),$$

gdzie  $dt/ds = \gamma = (1 - a^2 R^2 \omega^2)^{-1/2}$ . Wtedy czterowektory prędkości i przyspieszenia mają postać

$$u^\mu = \dot{y}^\mu = \frac{dy}{ds} = (\gamma, -R\omega\gamma \sin \omega t, R\omega\gamma \cos \omega t, 0),$$

$$\begin{aligned} (A^\mu) &= \left( \frac{Du^\mu}{ds} \right) = \\ &= (a'R^2\omega^2\gamma^2(\gamma^2 + 1), -\frac{a'}{a}R\omega\gamma^2(\gamma^2 + 1)\sin \omega t - R\omega^2\gamma^2 \cos \omega t, \frac{a'}{a}R\omega\gamma^2(\gamma^2 + 1)\cos \omega t - R\omega^2\gamma^2 \sin \omega t, 0) \end{aligned} \quad (39)$$

Właściwe przyspieszenie wynosi

$$\alpha = \sqrt{-A_\mu A^\mu},$$

$$A^\mu A_\mu = -\left(\frac{a'}{a}\right)^2 (\gamma^2 - 1) (\gamma^2 + 1)^2 - a^2 R^2 \omega^4 \gamma^4$$

Konstruując w tym przypadku reper  $E$  którego wersory będą spełniać prawo transportu (FW) można konstrukcję przeprowadzić analogicznie do przedstawionej w poprzednim przypadku - czasoprzestrzeni Minkowskiego. Jednakże rachunki można znacząco uprościć wykonując konstrukcję w inny sposób. Mianowicie można stosunkowo łatwo uogólnić wersory uzyskanej wcześniej bazy (36), tak aby tworzyły bazę ortonormalną w metryce (38). Odpowiednia baza jest postaci (40). Jak poprzednio wersory  $e_1$  i  $e_3$  są transportowane wzdłuż linii świata zgodnie z prawem (FW). Wersory  $e_1$  i  $e_2$  zależą od kąta obrotu  $\psi$ . Jak metryka FLRW przy  $a \rightarrow 1$  przechodzi w metrykę Minkowskiego tak szukany kąt obrotu  $\psi$  powinien w granicy  $a \rightarrow 1$  przechodzić w kąt znaleziony dla ciała poruszającego się po okręgu w czasoprzestrzeni Minkowskiego. Traktujemy tę granicę jako test poprawności wyników. Wartość  $\psi$  można znaleźć żądając, aby wersory  $e_1$  i  $e_2$  spełniały prawo transportu (FW). Wspólne rozwiązanie dla otrzymanych równań różniczkowych można wyrazić przez (41).

$$E_{FLRW} = \begin{pmatrix} e \\ e_1 \\ e_2 \\ e_3 \end{pmatrix} = \begin{pmatrix} \gamma & -R\omega\gamma \sin \omega t & R\omega\gamma \cos \omega t & 0 \\ aR\omega\gamma \sin \psi & \frac{1}{a} \cos \omega t \cos \psi - \frac{1}{a}\gamma \sin \omega t \sin \psi & \frac{1}{a} \sin \omega t \cos \psi + \frac{1}{a}\gamma \cos \omega t \sin \psi & 0 \\ aR\omega\gamma \cos \psi & -\frac{1}{a} \cos \omega t \sin \psi - \frac{1}{a}\gamma \sin \omega t \cos \psi & -\frac{1}{a} \sin \omega t \sin \psi + \frac{1}{a}\gamma \cos \omega t \cos \psi & 0 \\ 0 & 0 & 0 & \frac{1}{a} \end{pmatrix}. \quad (40)$$

$$\psi(s) = \int_0^s -\omega\gamma(s_1)^2 ds_1, \quad \text{gdzie } \gamma(s) = (1 - a(t(s))^2 R^2 \omega^2)^{-1/2}. \quad (41)$$

Mając znaleziony odpowiedni reper możemy obliczyć wielkości potrzebne do równania na fazę zegara  $\varphi$ .

$$\begin{aligned} A \cdot e_1 &= -a' R \omega \gamma (\gamma^2 + 1) \sin \psi + a R \omega^2 \gamma^2 \cos \psi \\ A \cdot e_2 &= -a' R \omega \gamma (\gamma^2 + 1) \cos \psi - a R \omega^2 \gamma^2 \sin \psi \\ \alpha &= a R \omega \gamma \sqrt{a'^2 (\gamma^2 + 1)^2 + \omega^2 \gamma^2} \end{aligned}$$

## 2.4 Ruch po okręgu wokół czarnej dziury

W układzie obserwatora inercyjnego  $\mathcal{I}$  z sferycznym układem współrzędnych  $(t, r, \phi, \theta)$  rozważamy linię świata obserwatora  $\mathcal{Z}$  w ruchu jednostajnym po okręgu wokół czarnej dziury. Będziemy używać metryki Schwarzschilda, która odpowiada czasoprzestrzeni w pobliżu nierotującej sferycznie symetrycznej masy nieobdarzonej ładunkiem [7]. Element liniowy oraz macierz tensora metrycznego mają postać

$$ds^2 = \left(1 - \frac{2M}{r}\right) dt^2 - \left(1 - \frac{2M}{r}\right)^{-1} dr^2 - r^2 \sin^2 \theta d\phi^2 - r^2 d\theta^2. \quad (42)$$

$$(g_{\mu\nu}) = \begin{pmatrix} 1 - \frac{2M}{r} & 0 & 0 & 0 \\ 0 & -\left(1 - \frac{2M}{r}\right)^{-1} & 0 & 0 \\ 0 & 0 & -r^2 \sin^2 \theta & 0 \\ 0 & 0 & 0 & -r^2 \end{pmatrix}. \quad (43)$$

Dla metryki [?] symbole Chrostofella  $\Gamma_{ij}^k$  przedstawiam poniżej w tablicach odpowiednio dla  $k = 0, 1, 2, 3$

$$\begin{pmatrix} 0 & \frac{M}{r^2} \left(1 - \frac{2M}{r}\right)^{-1} & 0 & 0 \\ \frac{M}{r^2} \left(1 - \frac{2M}{r}\right)^{-1} & 0 & 0 & 0 \\ 0 & 0 & 0 & 0 \\ 0 & 0 & 0 & 0 \end{pmatrix}, \begin{pmatrix} \frac{M}{r^2} \left(1 - \frac{2M}{r}\right) & 0 & 0 & 0 \\ 0 & -\frac{M}{r^2} \left(1 - \frac{2M}{r}\right)^{-1} & 0 & 0 \\ 0 & 0 & -\left(1 - \frac{2M}{r}\right) r \sin^2 \theta & 0 \\ 0 & 0 & 0 & -r \left(1 - \frac{2M}{r}\right) \end{pmatrix},$$

$$\begin{pmatrix} 0 & 0 & 0 & 0 \\ 0 & 0 & \frac{1}{r} & 0 \\ 0 & \frac{1}{r} & 0 & \frac{\cos \theta}{\sin \theta} \\ 0 & 0 & \frac{\cos \theta}{\sin \theta} & 0 \end{pmatrix}, \begin{pmatrix} 0 & 0 & 0 & 0 \\ 0 & 0 & 0 & \frac{1}{r} \\ 0 & 0 & -\cos \theta \sin \theta & 0 \\ 0 & \frac{1}{r} & 0 & 0 \end{pmatrix}$$

Jak poprzednio rozważamy ruch po okręgu o promieniu  $R$  i częstości  $\omega$ . W rozważanym układzie współrzędnych linię świata można zapisać następująco

$$(y^\mu) = \left(t, R, \omega t, \frac{\pi}{2}\right). \quad (44)$$

Wtedy czterowektor prędkości ma postać

$$(u^\mu) = \left(\frac{dy^\mu}{ds}\right) = (\gamma, 0, \omega\gamma, 0),$$

gdzie  $\gamma = dt/ds$ . Z danego elementu liniowego (42), po uwzględnieniu (44), możemy odczytać

$$\gamma = \frac{dt}{ds} = \sqrt{1 - \frac{2M}{R} - R^2 \omega^2}$$

Wyznaczamy czteroprzyspieszenie oraz przyspieszenie właściwe

$$(A^\mu) = \left(0, -\frac{R\omega^2}{1 - R^2\omega^2}, 0, 0\right)$$

$$\alpha = \sqrt{-A \cdot A} = \frac{R\omega^2}{1 - R^2\omega^2} \left(1 - \frac{2M}{R}\right)^{-1/2}$$

Ponownie skorzystamy z bazy wyznaczonej wcześniej dla przypadku czasoprzestrzeni Minkowskiego i uogólnimy ją w ten sposób, aby była unormowana i spełniała prawo transportu (FW). Takie postępowanie daje nam łatwy sposób sprawdzania poprawności obliczeń, gdyż dla  $M = 0$  wyniki powinny przechodzić w przypadek bez grawitacji, czyli czasoprzestrzeń Minkowskiego. W pierwszym kroku musimy przetransformować wektory bazy (36) do współrzędnych sferycznych. Na potrzeby tej transformacji współrzędne kartezjańskie oznaczmy przez  $x^i$ , natomiast współrzędne sferyczne przez  $\tilde{x}^i$ . Współrzędne wektorów transformują się kontrawariantnie [8] co można zapisać jako

$$\tilde{v}^i = \frac{\partial \tilde{v}^i}{\partial v^j} v^j.$$

Współczynniki tej transformacji obliczamy w punkcie należącym do rozważanej tu linii świata. Baza (36) we współrzędnych sferycznych ma zatem postać

$$\tilde{E} = \begin{pmatrix} e_0 \\ e_1 \\ e_2 \\ e_3 \end{pmatrix} = \begin{pmatrix} \gamma & 0 & \gamma\omega & 0 \\ R\omega\gamma \sin \psi & \cos \psi & \frac{\gamma}{R} \sin \psi & 0 \\ R\omega\gamma \cos \psi & -\sin \psi & \frac{\gamma}{R} \cos \psi & 0 \\ 0 & 0 & 0 & -\frac{1}{R} \end{pmatrix}.$$

Powyższa baza, rozważana w czasoprzestrzeni z metryką Schwarzschilda, nie jest ortonormalna. Można jednak stosunkowo łatwo uogólnić ją w ten sposób aby ortonormalna była

$$\tilde{\tilde{E}} = \begin{pmatrix} e_0 \\ e_1 \\ e_2 \\ e_3 \end{pmatrix} = \begin{pmatrix} \gamma & 0 & \gamma\omega & 0 \\ R\omega\gamma \sin \psi \left(1 - \frac{2M}{R}\right)^{-1/2} & \cos \psi \left(1 - \frac{2M}{R}\right)^{1/2} & \frac{\gamma}{R} \sin \psi \left(1 - \frac{2M}{R}\right)^{1/2} & 0 \\ R\omega\gamma \cos \psi \left(1 - \frac{2M}{R}\right)^{-1/2} & -\sin \psi \left(1 - \frac{2M}{R}\right)^{1/2} & \frac{\gamma}{R} \cos \psi \left(1 - \frac{2M}{R}\right)^{1/2} & 0 \\ 0 & 0 & 0 & -\frac{1}{R} \end{pmatrix}.$$

Odpowiedni kąt obrotu  $\psi$  znajdujemy za pomocą prawa transportu (FW). Dają one równania różniczkowe (jak poprzednio zakładamy  $\psi(0) = 0$ ), które mają wspólne rozwiązanie dane przez (46).

$$\psi = -\omega\gamma^2 s \left(1 - \frac{3M}{R}\right). \quad (45)$$

Mając odpowiedni reper ruchomy znajdujemy równanie na fazę zegara (??)

$$\begin{aligned} \chi = -\psi &= \omega\gamma^2 s \left(1 - \frac{3M}{R}\right), \quad \alpha = \frac{R\omega^2}{1 - R^2\omega^2} \left(1 - \frac{2M}{R}\right)^{-1/2} \\ \dot{\varphi} &= \pm \frac{2}{\ell} + \frac{R\omega^2}{1 - R^2\omega^2} \left(1 - \frac{2M}{R}\right)^{-1/2} \sin \left( \varphi - \omega\gamma^2 s \left(1 - \frac{3M}{R}\right) \right) \end{aligned} \quad (46)$$

### 3 Analiza równania fazy zegara

W tej części przeprowadzimy analizę równania na fazę zegara wyprowadzonego w poprzedniej części. Interesującym nas parametrem jest przybliżenie właściwe, będące miarą przyspieszenia jakie działa na obiekt.

#### 3.1 Zegar w przypadku stałego przyspieszenia

Zakładamy stałe przyspieszenie właściwe  $\alpha$ . Wtedy czterowektor przyspieszenia określony jest przez parametr  $\chi$

Założmy szczególną postać  $\chi(s) = ps + q$ , gdzie  $p, q = \text{const}(s)$ . Do rozwiązania równania stosujemy wtedy podstawienie (47)

$$\Phi = \varphi - \chi, \quad (47)$$

$$\frac{d\Phi}{ds} = \frac{d\varphi}{ds} - p \quad (48)$$

$$\frac{d\Phi}{ds} = \pm \frac{2}{\ell} - p + \alpha \sin(\Phi)$$

$$ds = \frac{d\Phi}{\pm \frac{2}{\ell} - p + \alpha \sin(\Phi)}$$

Całkując prawą stronę powyższej równości stosujemy podstawienie  $x = \text{tg}(\Phi/2)$ . Dla uproszczenia stosujemy oznaczenia  $B = \pm \frac{2}{\ell} - p$ ,  $C = \sqrt{1 - \frac{\alpha^2}{B^2}}$

$$s + s_0 = \frac{2}{BC} \arctg \left( \frac{\text{tg}(\Phi/2)}{C} + \frac{\alpha}{BC} \right),$$

$$\varphi = ps + q + 2 \arctg \left( C \text{tg}(BC(s + s_0)/2) - \frac{\alpha}{B} \right)$$

Zauważmy, że dla  $\alpha \rightarrow 0$  rozwiązanie jest postaci (49). To znaczy, że w przypadku ruchu bez przyspieszeń nasz model zegara mierzy czas własny  $s$ .

$$\varphi = \pm \frac{2}{\ell} s + \text{const.} \quad (49)$$

Zakładając warunek początkowy postaci  $\varphi(0) = -\pi/2$ , czyli  $\Phi(0) = -\pi/2 - q$  możemy wyznaczyć stałą całkowania  $s_0$ .

$$s_0 = \frac{2}{BC} \arctg \left( -\frac{1}{C} \text{tg}(q/2 + \pi/4) + \frac{\alpha}{BC} \right), \quad (50)$$

### 3.1.1 Rozwiązanie przybliżone

Interesuje nas jak rozwiązanie zachowuje się dla małych przyspieszeń. Rozwiążemy równanie (21) stosując rachunek zaburzeń ze względu na parametr  $\alpha$ . W tym celu zapisujemy  $\phi$  oraz  $\chi$  w postaci szeregów (51) (52). W równaniu (21) zapisujemy sinus w postaci szeregu (53). Następnie wstawiamy rozwinięcia  $\phi$  i  $\chi$  do uzyskanego równania i porządkujemy wyrazy ze względu na  $\alpha$ , odrzucając wyrazy  $O(\alpha^2)$ . Separujemy równanie ze względu na  $\alpha$  dostając równania (54), których rozwiązania wyglądają następująco (55). Ostatecznie szukane przez nas rozwiązanie ma postać (56).

$$\varphi = \sum_{n=0}^{\infty} \alpha^n \varphi_n, \quad (51)$$

$$\chi = \sum_{n=0}^{\infty} \alpha^n \chi_n \quad (52)$$

$$\dot{\varphi} \mp \frac{2}{\ell} - \alpha \sum_{n=0}^{\infty} (-1)^n \frac{(\phi - \chi)^{2n+1}}{(2n+1)!} = 0 \quad (53)$$

$$\begin{cases} \dot{\varphi}_0 = \pm \frac{2}{\ell}, & \varphi_0(0) = -\frac{\pi}{2}, \\ \dot{\varphi}_1 = \sin(\varphi_0 - \chi_0), & \varphi_1(0) = 0. \end{cases} \quad (54)$$

$$\begin{cases} \varphi_0 = \pm \frac{2}{\ell} s - \frac{\pi}{2}, \\ \varphi_1 = -\alpha \int_0^s \cos(2s_1/\ell - \chi_0(s_1)) ds_1. \end{cases} \quad (55)$$

$$\varphi = \pm \frac{2}{\ell} s - \frac{\pi}{2} + \alpha \int_0^s \cos(\pm 2s_1/\ell - \chi_0(s_1)) ds_1 + O(\alpha^2). \quad (56)$$

Z rozwiązania przybliżonego (56) wiemy, że dla małych przyspieszeń nasz model zegara dobrze mierzy czas własny  $s$ . Przyspieszenie charakterystyczne dla którego efekto powinien mieć istotny wpływ to (57). Wpływ zaburzenia  $\varphi_1$  na działanie zegara jest rzędu (58).

$$\alpha_c = \frac{2}{\ell} \quad (57)$$

$$\epsilon = \frac{\alpha}{\alpha_c} \quad (58)$$

### 3.1.2 Ruch jednostajnie przyspieszony

W przypadku relatywistycznego odpowiednika ruchu jednostajnie przyspieszonego mamy  $\chi = \pi$  oraz  $\alpha = \text{const}$ . W takim przypadku faza  $\varphi$  jest równa (59), a przybliżenie dla małych przyspieszeń dane przez (60).

$$\varphi = \pi + 2 \arctg \left( \sqrt{1 - \frac{\alpha^2 \ell^2}{4}} \operatorname{tg} \left( \pm \sqrt{1 - \frac{\alpha^2 \ell^2}{4}} (s + s_0) / \ell \right) \mp \frac{\alpha \ell}{2} \right) \quad (59)$$

$$s_0 = \pm \ell \arctg \left( \left( 1 \pm \frac{\alpha \ell}{2} \right) / \sqrt{1 - \frac{\alpha^2 \ell^2}{4}} \right) / \sqrt{1 - \frac{\alpha^2 \ell^2}{4}}$$

$$\varphi = \pm \frac{2}{\ell} s - \frac{\pi}{2} - \frac{\alpha \ell}{2} \sin(2s/\ell) + O(\alpha^2). \quad (60)$$

### 3.1.3 Ruch po okręgu

W przypadku ruchu po okręgu o promieniu  $R$  z częstością  $\omega$  mamy  $\chi = \omega \gamma^2 s$  oraz  $\alpha = R \omega^2 \gamma^2$ . W takim przypadku faza  $\varphi$  jest równa (61), a przybliżenie dla małych przyspieszeń dane przez (62).

$$\varphi = \omega \gamma^2 s + 2 \arctg \left( \sqrt{1 - \frac{R^2 \omega^4 \gamma^4}{(\pm \frac{2}{\ell} - \omega \gamma^2)^2}} \operatorname{tg} \left( \left( \pm \frac{2}{\ell} - \omega \gamma^2 \right) \sqrt{1 - \frac{R^2 \omega^4 \gamma^4}{(\pm \frac{2}{\ell} - \omega \gamma^2)^2}} (s + s_0) / 2 \right) - \frac{\alpha}{\pm \frac{2}{\ell} - \omega \gamma^2} \right) \quad (61)$$

$$s_0 = \frac{2}{\pm \frac{2}{\ell} - \omega \gamma^2} \arctg \left( \left( \frac{\alpha}{\pm \frac{2}{\ell} - \omega \gamma^2} - 1 \right) / \sqrt{1 - \frac{R^2 \omega^4 \gamma^4}{(\pm \frac{2}{\ell} - \omega \gamma^2)^2}} \right) / \sqrt{1 - \frac{R^2 \omega^4 \gamma^4}{(\pm \frac{2}{\ell} - \omega \gamma^2)^2}},$$

$$\varphi = \pm \frac{2}{\ell} s - \frac{\pi}{2} + \frac{R \omega^2 \gamma^2}{\pm 2/\ell - \omega \gamma^2} \sin((\pm 2/\ell - \omega \gamma^2)s) + O(\alpha^2). \quad (62)$$

## 3.2 Analiza modelu pod kątem pomiaru

Najprostszym obiektem, dla którego można użyć tego modelu wydaje się być elektron. Wiemy, że dla małych przyspieszeń hipoteza zegara wydaje się być spełniona []. W tej części oszacujemy rząd wielkości przyspieszenia dla którego spodziewamy się obserwowalnych odstępstw od hipotezy zegara. Za  $\ell$  możemy podstawić wielkość o wymiarze metra charakterystyczną dla elektronu - długość komptonowską (63). Wtedy przyspieszenie charakterystyczne dla elektronu wynosi (64). Dla porównania energie elektronów otrzymywane w akceleratorach liniowych są rzędu kilku-kilkunastu GeV. Dla szacowania przyjmijmy gradient przyspieszenia rzędu kilku GeV/m [9]. Rząd wielkości przyspieszenia szacujemy jako (65). Porównując rzędy wielkości stwierdzamy, że efekty raczej nie będą obserwowalne.

$$\lambda_e \approx 2,426 \cdot 10^{-10} \text{ cm} \quad (63)$$

$$\alpha_c \approx 8,244 \cdot 10^9 \text{cm}^{-1} \quad (64)$$

$$\alpha \approx 10^2 \text{cm}^{-1} \quad (65)$$

Komptonowska długość protonu wnosi (66). Przyspieszenie charakterystyczne dla protonu wynosi (67). Energie protonów osiągane w CERN są rzędu 7TeV [10]. proton doświadczy wtedy przyspieszenia rzędu (68). Porównując rzędy wielkości przyspieszeń stwierdzamy, że jesteśmy daleko od możliwych obserwacji

$$\lambda_p \approx 1,321 \cdot 10^{-13} \text{cm} \quad (66)$$

$$\alpha_c \approx 7,57 \cdot 10^{12} \text{cm}^{-1} \quad (67)$$

$$\alpha \approx 124 \text{cm}^{-1} \quad (68)$$

## Załączniki

### A Dodatek matematyczny

#### A.1 Równoważność dwóch postaci warunków na transport Fermiego-Walkera

Pokażemy, że następujące warunki są równoważne:

1.

$$\frac{\tilde{D}v}{ds} := \frac{Dv}{ds} + (v \cdot A)u - (v \cdot u)A = 0, \quad (69)$$

2.

$$\frac{d(v \cdot u)}{ds} = 0, \quad (70)$$

$$\left( \frac{D(v_{\perp})}{ds} \right)_{\perp} = 0, \text{ gdzie } v_{\perp} = v - (v \cdot u)u \quad (71)$$

*Dowód.* 1.  $\implies$  2.

Pierwszą z równości udowodnimy mnożąc skalarnie obustronnie równość 1. przez  $u$

$$0 = \frac{Dv}{ds} \cdot u + (v \cdot A)(u \cdot u) - (v \cdot u)(A \cdot u) = \frac{Dv}{ds} \cdot u + v \cdot \frac{Du}{ds} = \frac{d(v \cdot u)}{ds} \quad (72)$$

Teraz pokażemy drugą równość

$$\frac{D(v)_{\perp}}{ds} = \frac{Dv}{ds} - \frac{Du}{ds}(v \cdot u) - \frac{d(v \cdot u)}{ds}u = \frac{Dv}{ds} - A(v \cdot u) \stackrel{1.}{=} -(v \cdot A)u, \quad (73)$$

$$\left( \frac{D(v)_{\perp}}{ds} \right)_{\perp} = -(v \cdot A)u + (v \cdot A)(u \cdot u)u = 0. \quad (74)$$

2.  $\implies$  1.

Z pierwszej równości w 2. mamy

$$\frac{D(v)_{\perp}}{ds} = \frac{Dv}{ds} - \frac{d(v \cdot u)}{ds}u - A(v \cdot u) = \frac{Dv}{ds} - A(v \cdot u) \quad (75)$$



oraz

$$\frac{Dv}{ds} \cdot u = -\frac{Du}{ds} \cdot v. \quad (76)$$

Teraz rozpisujemy drugą równość w 2.

$$0 = \left( \frac{D(v_{\perp})}{ds} \right)_{\perp} = \frac{D(v_{\perp})}{ds} - \left( \frac{D(v_{\perp})}{ds} \cdot u \right) u \stackrel{(75)}{=} \quad (77)$$

$$\stackrel{(75)}{=} \frac{Dv}{ds} - (v \cdot u)A + \left( \left( \frac{Dv}{ds} - (v \cdot u)A \right) \cdot u \right) u \stackrel{(76)}{=} \frac{Dv}{ds} - (v \cdot u)A + (v \cdot A)u = \frac{\tilde{D}v}{ds}. \quad (78)$$

□

## Literatura

- [1] J. Synge, *Relativity: the general theory*. Series in physics, North-Holland, 1960.
- [2] J. Maluf and F. Faria, “On the construction of fermi–walker transported frames,” *Ann. Phys. (Berlin)*, vol. 17, pp. 326–335, 2008.
- [3] L. Costa and J. Natário, “Inertial forces in general relativity,” vol. 600, 2015. cited By 1.
- [4] A. Ashtekar and V. Petkov, *Springer handbook of spacetime*. 2014. cited By 8.
- [5] A. Staruszkiewicz, *Algebra i geometria*. Wykłady dla fizyków, Wydaw. Miniatura, 1993.
- [6] *Czasoprzestrzeń i grawitacja*.
- [7] J. Hartle, *Grawitacja: Wprowadzenie do ogólnej teorii względności Einsteina*. Wyd. Uniwersytetu Warszawskiego, 2016.
- [8] R. Ingarden and A. Jamiółkowski, *Elektrodynamika klasyczna*. PWN, 1980.
- [9] H. S. Ghotra and N. Kant, “Electron acceleration by a chirped laser pulse in vacuum under the influence of magnetic field,” *Optical Review*, vol. 22, pp. 539–543, Aug 2015.
- [10] “The accelerator complex.” <https://home.cern/about/accelerators>. Dostęp: 2018-05-15.